

建設省土木研究所
正員 栗林栄一
同上 正員 ○小山田欣裕

まえがき

長大な径間を有する三径間吊橋の上下部構造全体の地震応答解析を行い、とくに主塔と主橋脚の周期の接近にもとづく応答の増幅の影響についての検討を中心にして、解析結果の一端を紹介するものである。主塔と主橋脚が連成した系における同種の研究を山田・竹宮が行つており⁽¹⁾、また古くは M. A. Biot が建築付属物の "whip effect"⁽²⁾として指摘している。

1. 解析の概要

橋台、橋脚、主塔、吊構造部およびケーブルとそれを支持する地盤からなる三径間吊橋の上下部構造全体を図-1 のように、118 の自由度を有する線型弾性の多質点系力学モデルに置き換えた。本解析計算では、ベント橋脚が橋台をもかねるとして 110 自由度系の固有振動特性をうびに応答を求めたものである。

地震入力は、土木研究所の平均応答スペクトル曲線（地震入力加速度の最大値を 200 gal とする）を用い、モーダル・アナリシスによる手法で、減衰定数は各モードを通じて一定として解析した。

橋は、中央径間中央点に關し左右対称とし、下部構造の条件（バネ定数、根入長）をワーストにわたり変化させ、構造主系面内ならびに構造主系に直交する方向の双方について計算を行なった。解析した構造物の主要諸元を表-1 に示す。

2. 解析の結果

地震時に大きな断面力を生ずると思われる主塔基部ならびに主橋脚基部の曲げモーメントに着目し、それぞれの卓越周期との関係を、減衰定数が 2% の場合についてまとめたのが表-2、図-3 である。この結果を要約すると

(1) 主塔基部の曲げモーメントは橋軸方向については、主橋脚と主塔の固有周期が接近したときに大きな応答を示し、周期が短くなるごとに鋸歯状に変化している。橋軸直角方向については、周期の接近の度合が小さく、橋軸方向ほど顕著ではないが、同様を変化している。

(2) 主橋脚基部の曲げモーメントは、主橋脚の 1 次周期と主塔の 2 次周期が接近したときに大きな応答を示している。

(3) ケーブルの高次の水平振動との連成により橋軸直角方向にはさらに周期の長いところに、もう一つピーカがありそうである。

3. 解析結果の検討

主塔と主橋脚が連成した系をとり出し、表-1 と同様な諸元で下部構造のバネの強さを種々変化させて周期の変化を見たのが図-4 で横軸はある基準とするバネの強さ K。に対するバネの強さ K' の比、縦軸は系の固有周期である。図中の PIER 系、TOWER 系、TOWER-PIER 系とはそれぞれ、橋脚単独、主塔単独および主塔と主橋脚が連成した系を意味する。

図-4から、主塔・主橋脚系の1, 2次の周期と主橋脚単独系の1次の周期が接近してゆく状況がわかるか、同様な関係が高次モードに無数に存在し得る。たゞレ、応答に大きな影響を及ぼすのは主橋脚の基本周期との接近であろう。これは周期の接近により大きな応答を示したケース5, 6における主橋脚基部の曲げモーメントの卓越する周期の振動モードをケース1(地盤の弾性係数が非常に大きくとった場合)と比較して示した図-1から明らかである。

山田・竹宮は、固有周期が接近した場合、構造物の応答は複雑な様相を呈し、固有振動モードの位相の要素を導入し固有振動モード間の相互効果を考えねば、モーダル・アナリシスによる場合、真の応答値とかけ離れた評価を与えることになると指摘した。

また、M. A. Biotは、図-6の2自由度の剪断振動系で、固有円振動数 P_r ($r = I, II$ 次)を求める式

$$P_r^2 = \frac{1}{2} (P_{11}^2 + P_{22}^2) \mp \sqrt{(P_{11}^2 - P_{22}^2)^2 + 4 P_{12}^4}, \quad P_{11}^2 = \frac{\kappa_1 + \kappa_2}{m_1}, \quad P_{22}^2 = \frac{\kappa_2}{m_2}, \quad P_{12}^2 = \frac{\kappa_2}{m_1 m_2}$$

から1次、2次の固有円振動数 P_I, P_{II} の差が最もなる条件が $P_{11}^2 = P_{22}^2$ すなはち $(\kappa_1 + \kappa_2)/m_1 = \kappa_2/m_2$ のもとに、小さな質量 m_1 が大きな質量 m_2 の振動に“tuned”されて、小さな質量の応答が $1/2 \cdot (1 + \sqrt{m_1/m_2})$ 倍に増幅されるのがゆる“whip effect”について指摘した。

たゞえは、本解析計算の主塔・主橋脚が仮に2自由度の剪断振動系とすると $m_1 g = 8 \times 10^5 t$, $m_2 g = 1.2 \times 10^4 t$ を代入し、増幅係数は4.58倍となり図-3に表かされた傾向を立証し得る。Biotはさらに、先細りした梁や建物、プロペラの先端などがこの現象により破壊されると述べている。

次に、図-3で、橋軸方向の主塔基部の曲げモーメント M_{TB} は、主橋脚の曲げモーメントの1次周期と主塔の1次の周期とが接近したときに最も大きな値を示すのに對し、主橋脚基部の曲げモーメントは主塔の2次モードに接近したときに最も大きな値を示している。

この関係を明らかにするため M_{TB}, M_{TB} が最も大きな値を示すモード(図-5)について、系全体の相当質量 M_r を主塔と主橋脚ごとのように分担しているかを示したのが表-3である。

表から、ケース5では主橋脚の分担率が90%にも達し、主塔は10%に満たないのに対し、ケース6では主橋脚の分担率が70%で、主塔が30%弱と著しく相違していることがわかる。この事は、運動エネルギーの分担が主塔と主橋脚で、モード、周期により相違することを示している。

4. 結論

(1) 大きな質量をもつ主橋脚のうえに、相対的に小さな質量をもつ主塔がのった系においては、周期の接近による主塔の応答の増幅と運動エネルギーの分担率の変化による主橋脚の応答の増幅の二点が十分に照査されねばならない。

(2) 山田・竹宮の指摘のように、固有振動モード間の相互効果を考えねばならぬとしたう、減衰の小さな範囲で便宜上等価な粘性減衰を用い、しかもこれが質量またはペネに比例することによってモーダル・アナリシスを適用する方法の当否が問題となり、応答を適切に評価しようとする統計的手法に関する研究がより一層進められねばならない。

[参考文献] (1) 山田喜一、竹宮宏和; 不規則外力による自由度系の応答解析とその長大吊橋タワー系の耐震解析への応用、土木学会論文報告集第16号、1967年3月

(2) M.A.Biot; Analytical And Experimental Methods In Engineering Seismology, Trans. of ASCE, Paper No. 2183, January, 1942.

表-1 地震响应解析主要输入

(a) 土部構造諸元

構造部材	規 格	単位	數 量	金 額
補強筋中央逐間長	m		1500	
補強筋側鋼長	m		750	
中央逐間ケーブル・ナグ	m		136.4	
側鋼筋ケーブル・ナグ	m		34.1	
主上ラス高	m		12	
ケーブル断面積	㎟		2×0.689	
ケーブル単位重量	t/m		11	
上構筋形単位重量	t/m		20	
主 塔 高	m		210	
塔柱中心間隔長	m		36	
主塔柱重量	t		24.300	
上 部 構	上部構造総重量	t	1174.00	

(ケーブル両側当り)

(b) 下部機造諸元(其通量)

構造部材	a (m)	b (m)	$\frac{h_a}{a}$	$\frac{h_b}{b}$	$\frac{w_c}{(t \cdot m)}$	W_b (t)	W_c (t)
主 梁 横 规	5.0	8.0	7.5	21.5	2.0	0	6×10^6
ペント構規	1.00	7.0	6.5	21.5	2.0	1.7×10^4	9.1×10^3

(a) 下船樣本換算係數

(注) L: 機船方向 T: 機船直角方向 V: ボアソン比

表-3 1次モードの相当質量

番号	種類	記号	ケース 5		ケース 6	
			相当質量	比率	相当質量	比率
1	主塔の水平振動	$mTr(u)$	0.0335	6.70%	0.1432	28.64%
2	主橋脚の水平振動	$mPr(u)$	0.4099	81.98	0.3221	64.42
3	主橋脚の回転振動	$mPr(\phi)$	0.0362	7.24	0.0256	5.12
4	他の振動成分	$m(u, v, \phi)$	0.0204	4.08	0.0091	1.82
		mr	0.5000	100.0	0.5000	100.0

(註) u : 水平成分

T : 主塔

V. 粉面成分

P · 主播脚

◎ 回憶錄

二、1. 水泥砂浆

〔注〕 ホードの在数(左)と右)は、右記の如きである。

表-2 主塔および主橋脚基部の卓越周期と曲げモーメント

ターン	応答	L				T			
		T _r	M _{rs}						
1	R ₁	—	0.6116	—	0.6030	—	2.78s	—	0.8939
	R ₂	1.418	0.4641	0.091	0.5929	0.928	2.47s	0.077	0.6887
2	R ₁	—	1.922	—	1.743	—	5.46s	—	1.699
	R ₂	0.426	1.504	0.512	1.729	0.943	3.27s	0.408	1.689
3	R ₁	—	4.655	—	0.5548	—	13.21	—	0.5704
	R ₂	1.283	3.478	1.283	0.3860	0.839	10.65	0.454	0.3134
4	R ₁	—	2.390	—	0.3926	—	15.39	—	0.6515
	R ₂	1.383	2.006	2.015	0.3084	0.913	10.76	2.320	0.5859
5	R ₁	—	3.998	—	2.297	—	5.777	—	1.866
	R ₂	0.425	2.524	0.501	2.061	0.403	3.934	0.403	1.671
6	R ₁	—	4.611	—	0.5905	—	17.01	—	0.6857
	R ₂	1.255	3.399	1.255	0.4686	0.768	15.45	1.248	0.5277
7	R ₁	—	2.547	—	0.4572	—	16.01	—	0.5281
	R ₂	1.379	2.166	1.954	0.3467	0.836	11.58	2.265	0.3371
基準	sec	$\times 10^3$ ton	sec	$\times 10^3$ ton	sec	$\times 10^3$ ton	sec	$\times 10^3$ ton	sec

(三) R - 二 月齋和の書本相

R-1: 各カードの座標のうち最も大きい

Fig. 1. 本塔基部の曲げモーメントの変動曲線

Table 1. 真体側基板の曲げ剛性 [Nm] 上の変動因数

1-1-1. 主搖基盤の曲げモード

M-11 主族和副族的周期表

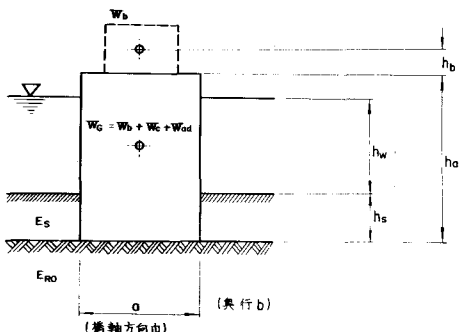


図-2 下部構造

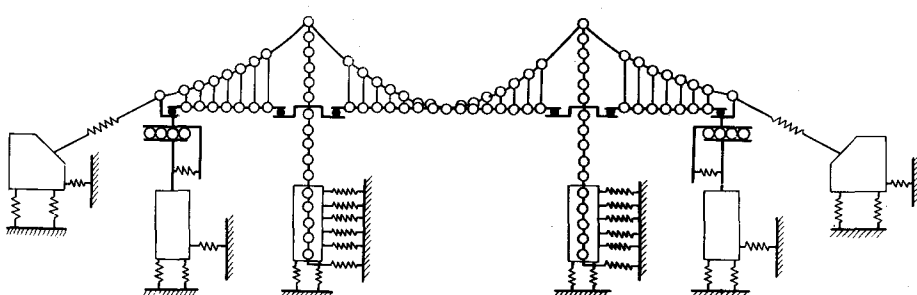


図-1 力学モデル

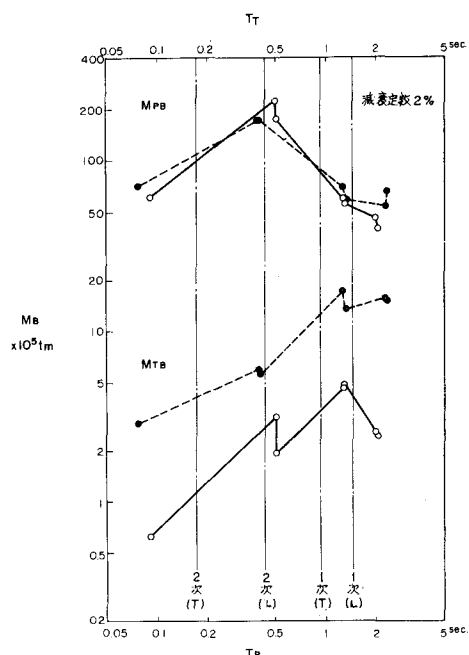


図-3 主塔および主橋脚基部の曲げモーメントと卓越周期

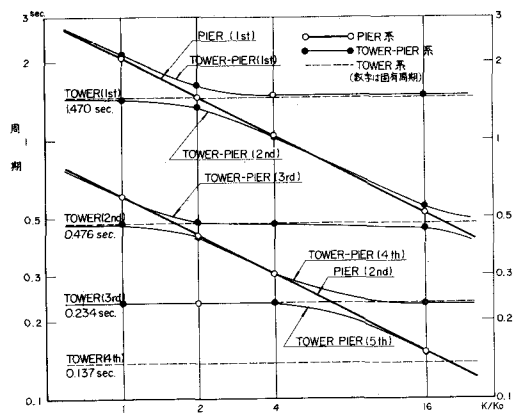


図-4 下部構造のバネの変化に伴う主塔、主橋脚系の周期の変化

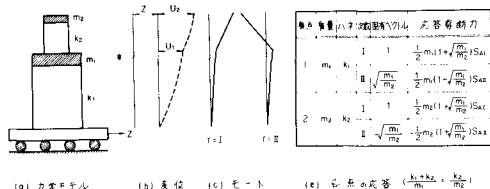


図-6 2質点系の“Whip Effect”

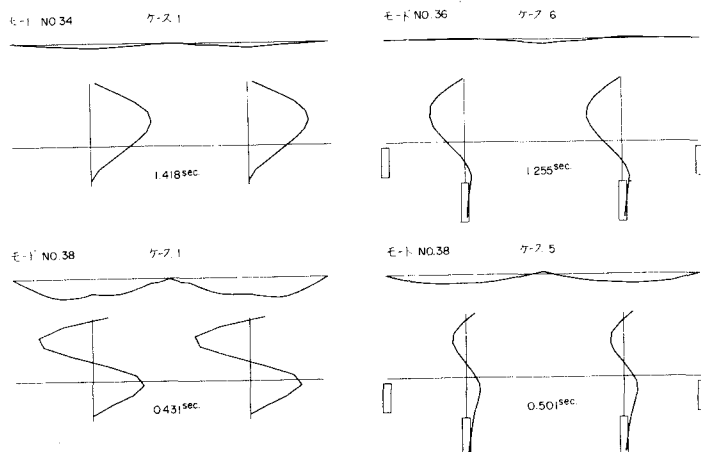


図-5 振動モード